

СПЕКТРОСКОПИЯ ОКРУЖАЮЩЕЙ СРЕДЫ

УДК 539.534.539.194

Уширение линий окиси углерода в объеме нанопор аэрогеля

В.И. Стариков^{1,2}, А.А. Солодов^{3*}

¹Томский государственный университет систем управления и радиоэлектроники
634050, г. Томск, пр. Ленина, 40

²Национальный исследовательский Томский политехнический университет
634050, г. Томск, пр. Ленина, 30

³Институт оптики атмосферы им. В.Е. Зуева СО РАН
634055, г. Томск, пл. Академика Зуева, 1

Поступила в редакцию 19.09.2016 г.

Проведено вычисление уширения и сдвига центров линий поглощения молекулы CO в условиях ограниченного объема. Рассмотрена модель, в которой уширение и сдвиг центров линий молекулы обеспечены столкновениями свободных молекул CO как со стенками ячейки, так и с адсорбированными на стенах ячейки возмущающими молекулами, которые могут сохранять или не сохранять вращательные степени свободы.

Ключевые слова: окись углерода, уширение и сдвиг спектральных линий, аэрогель, нанопоры; CO, half-width and shift of spectral lines, aerogel, nanopores.

Введение

Исследование свойств газов, находящихся в нанопорах различныхnanoструктурных материалов, таких как силикагели, углеродные трубы, биологические объекты и т.д., привлекает к себе в последние годы повышенное внимание и имеет важное теоретическое и прикладное значение. Взаимодействие молекул с поверхностью нанопор приводит к тому, что часть молекул адсорбируется на их внутренней поверхности, а часть находится в газовой фазе. Экспериментальному и теоретическому изучению свойств молекул, адсорбированных на поверхности твердых тел, посвящено большое количество работ (см., например, [1–10] и ссылки в них). В работах [11–20] исследовано поведение молекул, таких как H₂O, O₂, NH₃, CO₂, в условиях ограничения длины их свободного пробега. Уширение линий fundamentalной колебательной полосы CO, находящегося в нанопорах аэрогеля, изучалось в [15]. Было установлено, что при малых давлениях газа полуширины линий почти не зависят от вращательных квантовых чисел.

Наша работа посвящена анализу экспериментальных данных [21] по уширению линий поглощения колебательной полосы 2–0 окиси углерода (диапазон 4100–4400 см⁻¹), находящейся в нанопорах аэрогеля диоксида кремния, средний размер которых составляет 20 нм. При давлении 50,3 мбар и температуре 296 К измеренные полуширины Г линий с вращательными квантовыми числами 0 ≤ J ≤ 20 изменяются от 0,204 до 0,173 см⁻¹. При таких усло-

виях полуширина линий свободных молекул CO меняется от 0,0045 до 0,003 см⁻¹ (см., например, [22]). Центры линий поглощения молекул CO, находящихся в нанопорах, сдвинуты относительно центров линий свободных молекул CO на 0,005 см⁻¹. В работе [21], так же как и в [15], предполагалось, что любое столкновение со стенками нанопор переводит молекулу на другой энергетический уровень. Вращательная зависимость полуширина была объяснена прерыванием процесса поглощения излучения молекулой CO на разных расстояниях от поверхности в зависимости от энергии вращения молекулы. В настоящей работе для анализа экспериментальных данных из [21] используется другая модель, которая предполагает наличие рассеивающих центров на поверхности нанопор.

1. Модель взаимодействия молекул в нанопоре

В качестве рассеивающих центров выбраны адсорбированные на поверхности поры молекулы окиси углерода, которые обозначены как CO'. Адсорбированные молекулы CO' могут отличаться от свободных молекул CO не только в связи с изменением электрооптических параметров (дипольный и квадрупольный моменты, средняя поляризуемость), но и с тем, что адсорбированные молекулы могут терять вращательные степени свободы. Общая полуширина линии Г (см., например, [12, 14]) определялась в виде суммы двух вкладов:

$$\Gamma = \Gamma_{Wall} + \Gamma_{if}. \quad (1)$$

269

* Виталий Иванович Стариков (vstarikov@yandex.ru);
Александр Александрович Солодов (asolodov@iao.ru).

Первый вклад, Γ_{Wall} , обусловлен столкновениями молекул газа со стенками нанопор, вызывающими прерывание процесса поглощения излучения. Он постоянный для всех линий, не зависит от давления газа внутри поры и химического состава нанопористого материала и определяется размерами поры и средней скоростью движения молекулы. Второй вклад, Γ_{if} , определяет вращательную зависимость полуширины линий в переходе $i \rightarrow f$, в котором i и f – начальное и конечное колебательно-вращательные состояния молекулы. Расчеты отдельных вкладов из (1) проведены при тех же предположениях, что и в [19, 20] для водяного пара, находящегося в таких же нанопорах, а именно:

а) хорошо различимый колебательно-вращательный спектр газовой фазы молекулы CO, газ разреженный;

б) нанопоры имеют сферическую форму, их диаметр определяет значение Γ_{Wall} в (1);

в) уширяющими молекулами являются молекулы CO', адсорбированные на поверхности поры с плотностью n' ; эти молекулы могут иметь или не иметь вращательные степени свободы, но взаимодействуют со свободными молекулами посредством обычных электростатических и поляризационных взаимодействий. Их эффект характеризуется вкладом Γ_{if} в полуширину линий из (1) и сдвигом линий Δ_{if} ;

г) другие силы взаимодействия активной молекулы с поверхностью пор отсутствуют.

Потенциал взаимодействия в системе «CO–CO'» был взят в виде суммы слагаемых

$$V = V_{\mu'-\mu} + V_{\mu'-q} + V_{q'-\mu} + V_{q'-q} + V_{\alpha-\alpha'}, \quad (2)$$

описывающих диполь-дипольное ($V_{\mu'-\mu}$), диполь-квадрупольное ($V_{\mu'-q}$), квадруполь-дипольное ($V_{q'-\mu}$), квадруполь-квадрупольное ($V_{q'-q}$) и поляризационное взаимодействия ($V_{\alpha-\alpha'}$). Штрих у дипольного (μ) и квадрупольного (q) моментов, а также у средней поляризуемости (α) молекулы CO означает, что эти величины могут иметь значения, отличные от соответствующих значений $\mu = 0,1D$, $q = -2,5D \text{ \AA}$, $\alpha = 1,95 \text{ \AA}^3$ свободных молекул CO [23]. Явный вид отдельных слагаемых из потенциала (2) можно найти в [24].

Расчет полуширины Γ_{if} и сдвига Δ_{if} линий был проведен с использованием коэффициентов уширения γ_{if} и сдвига δ_{if} , которые рассчитывались в полуклассическом методе [25, 26] по формуле

$$\begin{aligned} \gamma_{if} + i\delta_{if} = (n/c)v_m \sigma^2 \sum_{J_2} \rho_{J_2} \int_0^\infty y dy \left[1 - (1 - S_2^{middle'}) \times \right. \\ \left. \times \exp(-iS_1 - S_{2,i}^{outer} - S_{2,f}^{outer*} - S_2^{middle''}) \right], \quad (3) \end{aligned}$$

где $n = 2,448 \cdot 10^{19}$ (мол. · см⁻³ · атм⁻¹) – концентрация уширяющих свободных молекул CO' (число молекул, находящихся в 1 см³ при давлении 1 атм при температуре $T = 296$ К); c – скорость света; v_m – наиболее вероятная скорость сталкивающихся

молекул; $S_1(b)$ и $S_2(b)$ – известные [26] функции прерывания первого и второго порядка, зависящие от параметров межмолекулярного потенциала (2) и прицельного расстояния $b = \sigma \cdot y$; ρ_{J_2} – статвеса уровня J_2 возмущающей молекулы CO'; y – безразмерная переменная интегрирования. Параметр $\sigma = 3,76 \text{ \AA}$ наряду с параметром $\varepsilon/k_B = 100 \text{ K}$ (k_B – постоянная Больцмана) определяет изотропный потенциал взаимодействия молекул CO (эти параметры взяты из [27]). В вариантах расчета с невращающимися молекулами CO' вращательная постоянная для CO' приравнивалась к нулю.

Для функции прерывания первого порядка

$$S_1(b) = S_{10}/b^5 \quad (4)$$

известна связь коэффициента S_{10} с молекулярными постоянными:

$$S_{10} = \frac{3\pi}{8\hbar v_m} [\mu_i^2 - \mu_f^2 + 1,5u(\alpha_i - \alpha_f)] \alpha', \quad (5)$$

где μ_i , μ_f , α_i , α_f – дипольный момент и поляризуемость для начального ($v = 0$) и конечного ($v = 2$) колебательных состояний поглощающей молекулы CO; α' – поляризуемость уширяющей молекулы CO'; $u = u_1 \cdot u_2/(u_1 + u_2)$, u_1 , u_2 – энергии диссоциации CO и CO' (в расчетах использовалось $u_2 = u_1$). Вводя коэффициенты уширения γ_{if} и сдвига δ_{if} , для полуширины Γ и сдвига Δ_{if} линий, согласно (1) и (3), можно записать два соотношения:

$$\Gamma = \Gamma_{Wall} + P'\gamma_{if} = \Gamma_{Wall} + (n'/n)\gamma_{if}; \quad (6)$$

$$\Delta_{if} = P'\delta_{if} = (n'/n)\delta_{if}. \quad (7)$$

Отметим, что использование P' и соотношения (n'/n) является формальным при адаптации формул полуширины и сдвига линий свободного газа для линий газа в нанопорах. Значение n' невозможно определить из законов идеального газа – это подгоняемая величина.

Задача состояла в том, чтобы найти n' , Γ_{Wall} , а также неизвестные электрооптические параметры μ' , q' и α' для молекулы CO', наилучшим образом описывающие экспериментальные данные для Γ и Δ из [21], т.е. найти их из условия минимума величины $rms(\Gamma, \Delta) = rms(\Gamma) + rms(\Delta)$, где

$$rms(\Gamma) = \sqrt{\frac{1}{N} \sum_{i=1}^N (\Gamma_i(exp) - \Gamma_i(cal))^2}, \quad (8)$$

$rms(\Delta)$ определяется той же формулой (8), в которой символ Γ нужно заменить на символ Δ . В качестве экспериментальных значений для сдвигов центров линий $\Delta_i(exp)$ было взято значение $-0,005 \text{ см}^{-1}$, на которое сдвинуты центры всех линий молекулы CO в нанопорах по сравнению со свободными молекулами CO. Для Γ использовались данные для $N = 20$ линий поглощения из R -ветви. Такой подбор параметров должен быть проведен как для вращающихся, так и невращающихся уширяющих молекул CO'.

2. Результаты вычислений

Количество неизвестных величин слишком велико, чтобы их можно было определить из двух уравнений (6), (7), поэтому часть из них должна быть фиксирована к конкретным значениям. Основной вклад в сдвиг линий определяется функцией прерывания $S_1(b)$ (4), которая зависит от значения коэффициента S_{10} (5). Этот коэффициент зависит только от поляризуемости α' адсорбированной молекулы CO' и не зависит от ее дипольного и квадрупольного моментов. Поэтому μ' и q' были фиксированы к значениям $\mu' = -0,1D$, $q' = -2,5D \text{ \AA}$, которые имеет активная молекула CO [23]. Далее три неизвестные величины Γ_{Wall} , P' и α' определялись следующим образом. Для серии значений $\alpha' = 2,0; 4,0; \dots$ (в \AA^3) вычислялись коэффициенты уширения γ_{if} и сдвига δ_{if} по формуле (3). По формулам (6) и (7) для каждого α' подбирались Γ_{Wall} и P' , которые обеспечивают минимум $rms(\Gamma, \Delta) = rms(\Gamma) + rms(\Delta)$.

Чтобы вычислить коэффициенты сдвига δ_{if} по формуле (3), нужно для каждого α' найти величину S_{10} (5), а для этого необходимо знать значения дипольного момента и поляризуемости молекулы CO в различных колебательных состояниях. В расчетах использовались значения $\mu_i = -0,11D$, $\mu_f = -0,08D$, $\alpha_f - \alpha_i = 0,2 \text{ \AA}^3$, полученные в результате расчета матричных элементов от функции дипольного момента и поляризуемости [28, 29] в базисе функций осциллятора Морзе с барьером к диссоциации $D = 88831,0 \text{ см}^{-1}$ и безразмерным параметром $\alpha = 2,61927$ (расчет аналогичен [30]).

Вращающиеся молекулы CO'. Минимальное значение $rms(\Gamma) = 2,9 \cdot 10^{-3} \text{ см}^{-1}$ и $rms(\Delta) = 2,2 \cdot 10^{-3} \text{ см}^{-1}$ достигнуто для $\alpha' = 16,0 \text{ \AA}^3$, $\Gamma_{Wall} = 0,145 \text{ см}^{-1}$ и коэффициента $P' = 0,5 \text{ атм}$. Такому коэффициенту соответствует концентрация уширяющих молекул $n' = 0,0128 \text{ мол./\text{nm}^3}$.

На рис. 1 приведены экспериментальные (линия 1) и вычисленные (линия 2) значения полуширин линий Γ , а на рис. 2 показано поведение вычисленных сдвигов линий Δ (линия 1). Среднее значение $\Delta = -0,007 \text{ см}^{-1}$.

Полученное значение Γ_{Wall} соответствует, согласно формуле [31]:

$$\Gamma_{Wall} = \frac{v_{cp}}{2\rho} \frac{A}{4V},$$

среднему диаметру шаровидной поры $d \approx 25 \text{ нм}$ (A и V – площадь и объем сферы, v_{cp} – средняя скорость сталкивающихся молекул). Такую же оценку для d дают расчеты из [18].

Невращающиеся молекулы CO'. Вращательная постоянная для молекулы CO' фиксировалась к нулю. Вычисления проведены так же, как и в предыдущем случае. Наилучшее описание экспериментальных данных достигнуто для $\alpha' = 10,0 \text{ \AA}^3$, $\Gamma_{Wall} = 0,135 \text{ см}^{-1}$ и $P' = 0,6 \text{ атм}$, которому соответствует концентрация $n' = 0,015 \text{ мол./\text{nm}^3}$. Для этих вход-

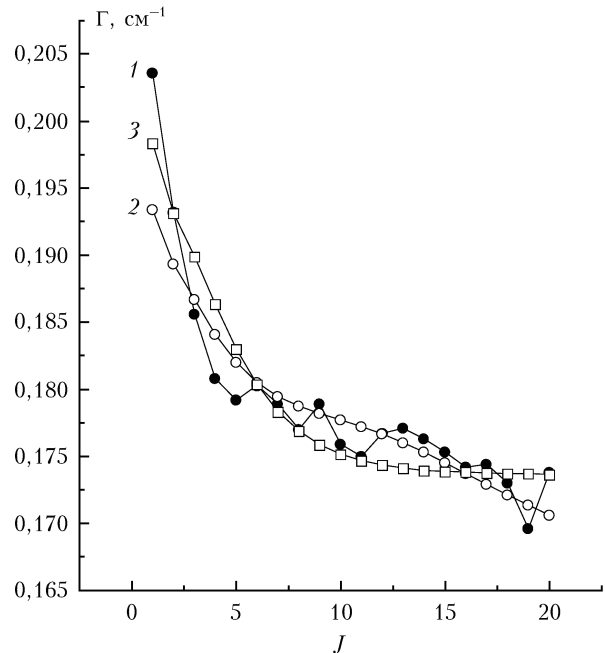


Рис. 1. Сравнение экспериментальных [21] (линия 1) и вычисленных (2, 3) полуширин линий полосы 2–0 молекул CO, ограниченных объемом нанопор аэрогеля, для вращающихся и невращающихся молекул CO'

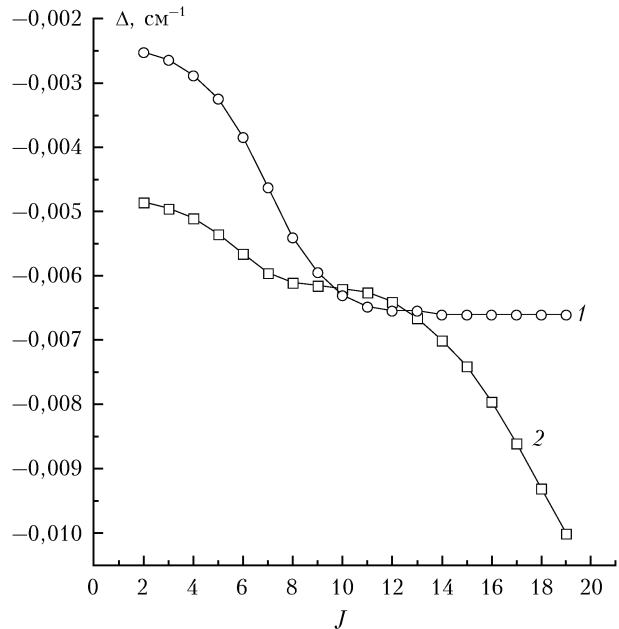


Рис. 2. Поведение вычисленных сдвигов линий полосы 2–0 молекул CO, ограниченных объемом нанопор аэрогеля, для вращающихся (1) и невращающихся (2) молекул CO'

ных параметров $rms(\Gamma) = 2,6 \cdot 10^{-3} \text{ см}^{-1}$ и $rms(\Delta) = 1,5 \cdot 10^{-3} \text{ см}^{-1}$. Среднее значение вычисленных сдвигов линий равно $-0,006 \text{ см}^{-1}$.

На рис. 1 и 2 вычисленные значения полуширин Γ и сдвигов Δ линий представлены линиями 3 и 2 соответственно. Для полученного Γ_{Wall} среднее значение диаметра поры $d \approx 28 \text{ нм}$.

3. Обсуждение

Сравнение значений рассчитанных и полученных из эксперимента [21] полуширин оксида углерода, находящегося в нанопорах, показывает возможность предложенной в разделе 1 модели адекватно описывать экспериментальные данные. Зависимость Γ от J в рассматриваемой модели предполагает наличие неупругих столкновений свободных молекул CO с рассеивающими центрами. Формально, в рамках адаптации полуклассического метода для расчетов параметров линий газов в нанопорах, все рассеивающие центры были приписаны адсорбированным на поверхности поры молекулам оксида углерода (с измененной по сравнению со свободной молекулой поляризумостью α'). В действительности идентификация таких центров неоднозначна. Это могут быть как адсорбированные молекулы оксида углерода, так и поверхностные гидроксильные группы. Большое количество неизвестных величин, например концентрация и электрооптические параметры адсорбированных молекул, не дают возможности оценить вклад каждого из видов рассеивающих центров в уширение и сдвиг линий CO. Фактически в результате расчета были подобраны эффективные параметры, описывающие все рассеивающие центры.

Зависящий от вращательного квантового числа J вклад Γ_{if} определяется как потенциалом взаимодействия в системе «CO—CO'», так и количеством адсорбированных молекул n' . Расчеты коэффициентов уширения и сдвига по формуле (3) показывают, что основным вкладом в потенциал (2) является вклад $V_{q'-q}$, связанный с квадруполь-квадрупольным взаимодействием, т.е. вклад Γ_{if} слабо зависит от поляризумости α' . Сдвиг линий Δ_{if} зависит и от n' , и от поляризумости α' .

Наилучшее совпадение с экспериментальными данными из [21] достигнуто для $\alpha' = 16,0$ и $10,0 \text{ \AA}^3$ для случая вращающихся и невращающихся уширяющих молекул соответственно. Именно повышенной поляризумостью α' можно объяснить большие значения рассчитанных сдвигов линий поглощения молекулы CO в нанопорах (для свободных молекул CO $\alpha = 1,95 \text{ \AA}^3$ [23]).

Сравнивая $rms(\Gamma, \Delta) = 5,1 \cdot 10^{-3} \text{ см}^{-1}$ и $rms(\Gamma, \Delta) = 4,1 \cdot 10^{-3} \text{ см}^{-1}$, полученные для случая вращающихся и невращающихся адсорбированных молекул CO', трудно отдать предпочтение одному из двух вариантов расчета. Оба варианта практически с одинаковой точностью описывают экспериментальные данные по полуширинам линий. Однако в целом вращательные зависимости, полученные для столкновений с вращающимися и невращающимися уширяющими молекулами, отличаются по характеру. Как видно из рис. 1, в случае уширения невращающимися молекулами CO' при малых значениях J происходит быстрый спад полуширина Γ и уже при $J > 13$ наблюдается независимость Γ от J , при этом для всех $J > 13$ вклад $\Gamma_{if} = 0,064 \text{ см}^{-1}$. В случае столкновений CO с вращающимися молекулами происходит постепенное снижение значений полуширина Γ .

Расчет вклада Γ_{if} до $J = 40$ показывает, что такое постепенное снижение полуширина Γ происходит до $J \approx 35$. Для всех $J > 35$ вклад $\Gamma_{if} \approx 0,040 \text{ см}^{-1}$.

В работе [21] не была получена вращательная зависимость сдвигов центров линий CO, находящегося в нанопорах, указано только среднее значение сдвигов линий (относительно свободного газа), равное $-0,005 \text{ см}^{-1}$. Однако рис. 2 показывает, что характер вращательных зависимостей сдвигов линий, полученных для столкновений с вращающимися и невращающимися уширяющими молекулами, разный.

Заключение

В настоящей работе анализ экспериментальных данных из [21] по уширению и сдвигу спектральных линий молекул оксида углерода, находящихся в объеме нанопор аэрогеля, проведен на основе модели, предложенной ранее в [19, 20] для водяного пара. В этой модели предполагается присутствие рассеивающих центров на поверхности пор, которые участвуют в уширении и сдвиге спектральных линий свободных молекул CO. Полуширина линии Γ и ее сдвиг Δ определяются электростатическим потенциалом взаимодействия в системе «CO—CO'» с главным вкладом $V_{q'-q}$, описывающим квадруполь-квадрупольное взаимодействие, количеством возмущающих молекул, находящихся на поверхности нанопор, и их поляризумостью α' . От поляризумости α' сильно зависят сдвиги линий Δ . Рассчитанные в работе значения для α' нужно рассматривать как оценочные.

Вращательная зависимость Γ , полученная в рамках используемой модели, качественно и количественно согласуется с экспериментальными данными, о чем свидетельствует рис. 1. В отличие от водяного пара [19, 20], учет ограничения свободы вращения в полуклассическом методе не является критичным при расчете уширения и сдвигов линий CO в нанопорах, во всяком случае, до $J < 20$.

В нашей модели полученная в [21] вращательная зависимость Γ объясняется столкновениями с рассеивающими центрами, роль которых повышается с уменьшением размеров поры.

Работа выполнена при поддержке гранта Президента Российской Федерации для государственной поддержки молодых российских ученых — кандидатов наук МК-2861.2017.2.

1. Henderson M.A. The interaction of water with solid surfaces: Fundamental aspects revisited // Sur. Sci. Rep. 2002. V. 46, N 1–8. P. 5–308.
2. Ohba T., Kaneko K. Cluster-associated filling of water molecules in slit-shaped graphitic nanopores // Mol. Phys. 2007. V. 105, N 2–3. P. 139–145.
3. Raghunathan A.V., Aluru N.R. An empirical potential based quasicontinuum theory for structural prediction of water // J. Chem. Phys. 2009. V. 131, N 18. P. 184703-1–184703-7.
4. Mosaddeghi H., Alavi S., Kowsari M.H., Najafi B. Simulations of structural and dynamic anisotropy in nano-confined water between parallel graphite plates // J. Chem. Phys. 2012. V. 137, N 18. P. 184703-1–184703-10.

5. Rasiah J.C., Garde S., Hummer G. Water in nonpolar confinement: From nanotubes to proteins and beyond // Annu. Rev. Phys. Chem. 2008. V. 59, N 1. P. 713–740.
6. Coudert F.-X., Vuilleumier R., Boutin A. Dipole moment, hydrogen bonding and IR spectrum of confined water // Chem. Phys. Chem. 2006. V. 7, N 12. P. 2464–2467.
7. Kocherbitov V. Properties of water confined in an amphiphilic nanopore // J. Phys. Chem. C. 2008. V. 112, N 43. P. 16893–16897.
8. Литтл Л. Инфракрасные спектры адсорбированных молекул. М.: Мир, 1969. 516 с.
9. Киселев А.В., Лыгин В.И. Инфракрасные спектры поверхности соединений. М.: Наука, 1972. 459 с.
10. Уиллис Р. Физика поверхности: колебательная спектроскопия адсорбентов / Под ред. Р. Уиллиса. М.: Мир, 1984. 247 с.
11. Wagner P.E., Somers R.M., Jenkins J.L. Line broadening and relaxation of three microwave transitions in ammonia by wall and inter molecular collisions // J. Phys. B. 1981. V. 14. P. 4763–4770.
12. Hartmann J.M., Sironneau V., Boulet C., Svensson T., Hodges J.T., Xu C.T. Collisional broadening and spectral shapes of absorption lines of free and nanopore-confined O₂ gas // Phys. Rev. A. 2013. V. 87, N 3. P. 032510-1–032510-10.
13. Ponomarev Yu.N., Petrova T.M., Solodov A.M., Solodov A.A. IR spectroscopy of water vapor confined in nanoporous silica aerogel // Opt. Express. 2010. V. 18, N 25. P. 26062–26067.
14. Svensson T., Lewander M., Svanberg S. Laser absorption spectroscopy of water vapor confined in nanoporous alumina: Wall collision line broadening and gas diffusion dynamics // Opt. Express. 2010. V. 18, N 16. P. 16460–16473.
15. Hartmann J.-M., Boulet C., Vander Auwera J., El Hamzaoui H., Capoen B., Bouazaoui M. Line broadening of confined CO gas: From molecule-wall to molecule-molecule collisions with pressure // J. Chem. Phys. 2014. V. 140. P. 064302.
16. Hartmann J.-M., Sironneau V., Boulet C., Svensson T., Hodges J.T., Xu C.T. Infrared absorption by molecular gases as a probe of nanoporous silica xerogel and molecule-surface collisions: Low-pressure results // Phys. Rev. A. 2013. V. 8, N 4. P. 042506.
17. Svensson T., Adolfsson E., Burresi M., Savo R., Xu C.T., Wiersma D.S., Svanberg S. Pore size assessment based on wall collision broadening of spectral lines of confined gas: Experiments on strongly scattering nanoporous ceramics with fine-tuned pore sizes // Appl. Phys. B. 2013. V. 110, N 2. P. 147–154.
18. Лугина Н.Э., Стариков В.И. Уширение колебательно-вращательных линий поглощения молекул углекислого и угарного газов вследствие соударений со стенками // Изв. вузов. Физ. 2012. Т. 55, № 6. С. 657–663.
19. Солодов А.М., Петрова Т.М., Пономарев Ю.Н., Солодов А.А., Стариков В.И. Фурье-спектроскопия водяного пара, находящегося в объеме нанопор аэрогеля. Часть 1. Измерения и моделирование // Оптика атмосф. и океана. 2014. Т. 27, № 5. С. 378–386; Solodov A.M., Petrova T.M., Ponomarev Yu.N., Solodov A.A., Starikov V.I. Fourier spectroscopy of water vapor in the volume of aerogel nanopores. Part I. Measurements and calculations // Atmos. Ocean. Opt. 2014. V. 27, N 5. P. 372–380.
20. Солодов А.М., Петрова Т.М., Солодов А.А., Стариков В.И. Фурье-спектроскопия водяного пара, находящегося в объеме нанопор аэрогеля. Часть 2. Расчет уширений линий и сдвига спектральных линий при столкновении с адсорбированными молекулами // Оптика атмосф. и океана. 2015. Т. 28, № 1. С. 32–36; Solodov A.M., Petrova T.M., Solodov A.A., Starikov V.I. Fourier spectroscopy of water vapor in the volume of aerogel nanopores. Part II. Calculation of broadening and shift of spectral lines by adsorbed molecules // Atmos. Ocean. Opt. 2014. V. 28, N 3. P. 232–235.
21. Solodov A.A., Petrova T.M., Ponomarev Yu.N., Solodov A.M. Influence of nanoconfinement on the relaxation dependence of line half-width for 2–0 band of carbon oxide // Chem. Phys. Lett. 2015. V. 637. P. 18–21.
22. Михайленко С.Н., Бабиков Ю.Л., Головко В.Ф. Информационно-вычислительная система «Спектроскопия атмосферных газов». Структура и основные функции // Оптика атмосф. и океана. 2005. Т. 18, № 9. С. 765–776.
23. Радиг А.А., Смирнов Б.М. Справочник по атомной и молекулярной физике. М.: Атомиздат, 1980. 240 с.
24. Tsao C.J., Curnutte B. Line-widths of pressure-broadened spectral lines // J. Quant. Spectrosc. Radiat. Transfer. 1962. V. 2, N 1. P. 41–91.
25. Robert D., Bonamy J. Short range force effects in semi-classical molecular line broadening calculations // J. de Phys. 1979. V. 40, N 10. P. 923–943.
26. Leavitt R.P. Pressure broadening and shifting in microwave and infrared spectra of molecules of arbitrary symmetry: An irreducible tensor approach // J. Chem. Phys. 1980. V. 73, N 11. P. 5432–5450.
27. Гирифельдер Дж.О., Куртис Ч.Ф., Бред Р. Молекулярная теория газов и жидкостей. М.: Изд-во иностранн. лит., 1961. 929 с.
28. Kiriyma F., Rao B.S. Electric dipole moment of ¹²C¹⁶O // J. Quant. Spectrosc. Radiat. Transfer. 2000. V. 65, N 4. P. 673–679.
29. Maroulis G. Electric polarizability and hyperpolarizability of carbon monoxide // J. Phys. Chem. 1996. V. 100. P. 13466–13473.
30. Stroinova V.N. Half-width and line center shifts formed by transitions into highly excited vibrational states of CO molecule // Bull. Tomsk Polytech. Univ. 2007. V. 311. P. 88–94.
31. Townes C.H., Schawlow A.L. Microwave Spectroscopy. New York: McGraw-Hill, 1955. 757 с.

V.I. Starikov, A.A. Solodov. The broadening of CO spectral lines confined in aerogel nanopores.

The paper presents the results of calculations of the broadening and shifts of absorption lines of CO confined in nanoporous media. The collisions with walls and absorbed rotational and non-rotational CO molecules are taken into account. The comparison with the existing experimental data is discussed.